

Starkniederschlagshöhen und -spenden gemäß KOSTRA-DWD-2010R

Auswertungszeitraum von 1951 - 2010, Januar - Dezember

Rasterfeld: 77058

Zeile: 77

Spalte: 58

Seite: 1/2

| Dauerstufe D | Wiederkehrzeit T | | | | | | | | | | | | | | | | | | |
|--------------|------------------|------|------------|------|------------|------|------------|------|------------|------|------------|-------|------------|-------|------------|-------|------------|-------|------------|
| | 1 a | | 2 a | | 3 a | | 5 a | | 10 a | | 20 a | | 30 a | | 50 a | | 100 a | | |
| min | Std | mm | l / (s ha) | mm | l / (s ha) | mm | l / (s ha) | mm | l / (s ha) | mm | l / (s ha) | mm | l / (s ha) | mm | l / (s ha) | mm | l / (s ha) | mm | l / (s ha) |
| 5 | | 5,9 | 196,7 | 7,9 | 263,3 | 9,0 | 300,0 | 10,5 | 350,0 | 12,5 | 416,7 | 14,5 | 483,3 | 15,7 | 523,3 | 17,2 | 573,3 | 19,2 | 640,0 |
| 10 | | 9,0 | 150,0 | 11,7 | 195,0 | 13,3 | 221,7 | 15,3 | 255,0 | 18,0 | 300,0 | 20,7 | 345,0 | 22,3 | 371,7 | 24,2 | 403,3 | 26,9 | 448,3 |
| 15 | | 11,0 | 122,2 | 14,2 | 157,8 | 16,1 | 178,9 | 18,4 | 204,4 | 21,6 | 240,0 | 24,9 | 276,7 | 26,7 | 296,7 | 29,1 | 323,3 | 32,3 | 358,9 |
| 20 | | 12,4 | 103,3 | 16,0 | 133,3 | 18,1 | 150,8 | 20,8 | 173,3 | 24,4 | 203,3 | 28,0 | 233,3 | 30,1 | 250,8 | 32,8 | 273,3 | 36,4 | 303,3 |
| 30 | | 14,1 | 78,3 | 18,4 | 102,2 | 20,9 | 116,1 | 24,1 | 133,9 | 28,4 | 157,8 | 32,7 | 181,7 | 35,2 | 195,6 | 38,4 | 213,3 | 42,7 | 237,2 |
| 45 | | 15,6 | 57,8 | 20,7 | 76,7 | 23,7 | 87,8 | 27,4 | 101,5 | 32,5 | 120,4 | 37,7 | 139,6 | 40,6 | 150,4 | 44,4 | 164,4 | 49,5 | 183,3 |
| 60 | | 16,4 | 45,6 | 22,2 | 61,7 | 25,6 | 71,1 | 29,8 | 82,8 | 35,6 | 98,9 | 41,4 | 115,0 | 44,8 | 124,4 | 49,0 | 136,1 | 54,8 | 152,2 |
| 90 | | 18,1 | 33,5 | 24,1 | 44,6 | 27,6 | 51,1 | 32,1 | 59,4 | 38,1 | 70,6 | 44,1 | 81,7 | 47,7 | 88,3 | 52,1 | 96,5 | 58,2 | 107,8 |
| 120 | 2 | 19,3 | 26,8 | 25,6 | 35,6 | 29,2 | 40,6 | 33,8 | 46,9 | 40,0 | 55,6 | 46,2 | 64,2 | 49,9 | 69,3 | 54,5 | 75,7 | 60,7 | 84,3 |
| 180 | 3 | 21,3 | 19,7 | 27,8 | 25,7 | 31,6 | 29,3 | 36,4 | 33,7 | 42,9 | 39,7 | 49,4 | 45,7 | 53,2 | 49,3 | 58,0 | 53,7 | 64,5 | 59,7 |
| 240 | 4 | 22,8 | 15,8 | 29,5 | 20,5 | 33,4 | 23,2 | 38,3 | 26,6 | 45,0 | 31,3 | 51,8 | 36,0 | 55,7 | 38,7 | 60,6 | 42,1 | 67,3 | 46,7 |
| 360 | 6 | 25,1 | 11,6 | 32,1 | 14,9 | 36,2 | 16,8 | 41,3 | 19,1 | 48,3 | 22,4 | 55,3 | 25,6 | 59,4 | 27,5 | 64,6 | 29,9 | 71,6 | 33,1 |
| 540 | 9 | 27,6 | 8,5 | 34,9 | 10,8 | 39,2 | 12,1 | 44,6 | 13,8 | 51,9 | 16,0 | 59,2 | 18,3 | 63,5 | 19,6 | 68,9 | 21,3 | 76,2 | 23,5 |
| 720 | 12 | 29,5 | 6,8 | 37,1 | 8,6 | 41,5 | 9,6 | 47,1 | 10,9 | 54,6 | 12,6 | 62,1 | 14,4 | 66,6 | 15,4 | 72,1 | 16,7 | 79,7 | 18,4 |
| 1080 | 18 | 32,5 | 5,0 | 40,4 | 6,2 | 45,0 | 6,9 | 50,8 | 7,8 | 58,7 | 9,1 | 66,6 | 10,3 | 71,2 | 11,0 | 77,0 | 11,9 | 84,9 | 13,1 |
| 1440 | 24 | 34,8 | 4,0 | 42,9 | 5,0 | 47,7 | 5,5 | 53,7 | 6,2 | 61,8 | 7,2 | 69,9 | 8,1 | 74,7 | 8,6 | 80,7 | 9,3 | 88,8 | 10,3 |
| 2880 | 48 | 45,9 | 2,7 | 56,0 | 3,2 | 62,0 | 3,6 | 69,5 | 4,0 | 79,6 | 4,6 | 89,8 | 5,2 | 95,8 | 5,5 | 103,3 | 6,0 | 113,4 | 6,6 |
| 4320 | 72 | 53,9 | 2,1 | 65,3 | 2,5 | 71,9 | 2,8 | 80,3 | 3,1 | 91,6 | 3,5 | 103,0 | 4,0 | 109,7 | 4,2 | 118,0 | 4,6 | 129,4 | 5,0 |

Angaben in mm: Bemessungsniederschlagswerte h(n)

Angaben in l / (s ha): Regenspende R(n) mit $R(n) = h(n) \times 1,666667 / D[\text{min}]$

Toleranzbereiche:

+/- 10 % für $1 a \leq T \leq 5 a$

+/- 15 % für $5 a < T \leq 50 a$

+/- 20 % für $50 a < T \leq 100 a$

Datenbasis: KOSTRA-DWD-2010R des Deutschen Wetterdienstes. Die Regenspende wurde auf Basis des Bemessungsniederschlags zur jeweiligen Andauer berechnet.

Für die Richtigkeit und Aktualität der Angaben wird keine Gewähr übernommen. Erstellt 07/2022.

Starkniederschlagshöhen und -spenden gemäß KOSTRA-DWD-2010R

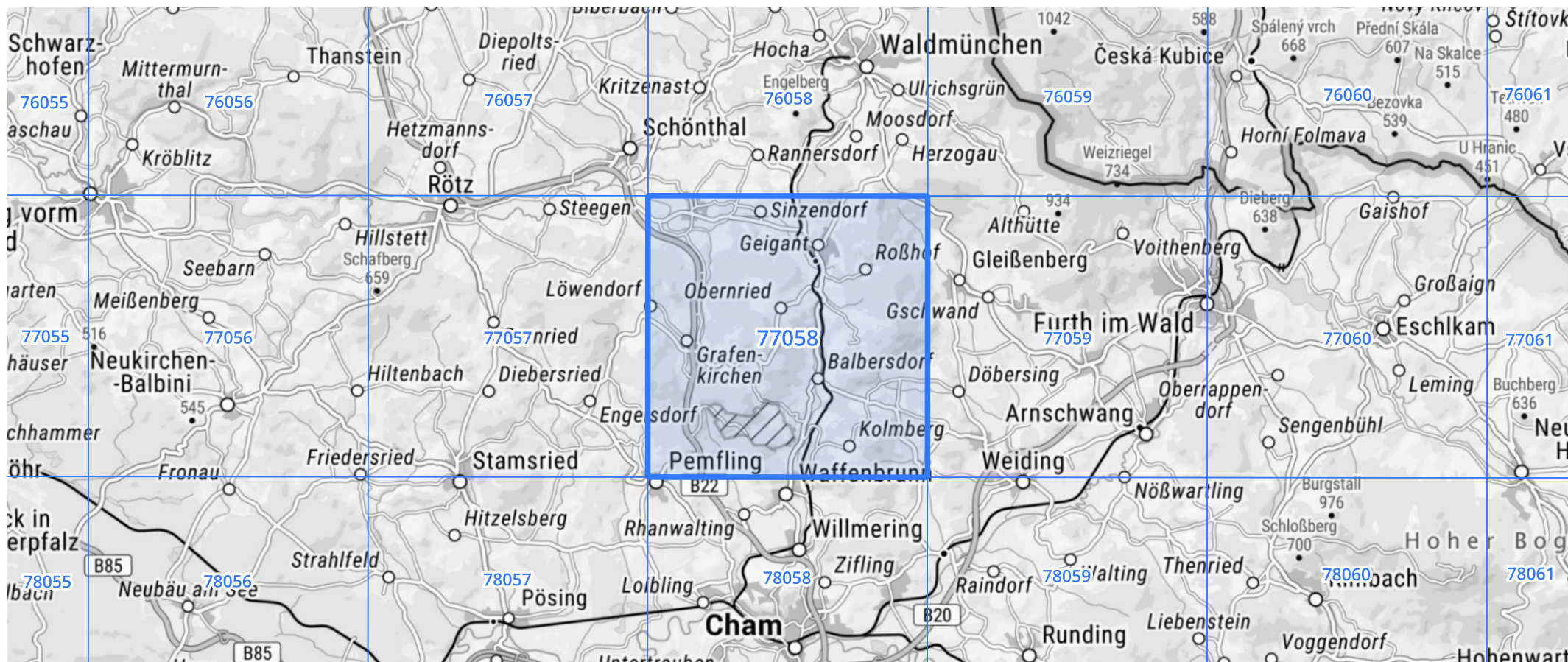
Auswertungszeitraum von 1951 - 2010, Januar - Dezember

Rasterfeld: 77058

Zeile: 77

Spalte: 58

Seite: 2/2



Quelle Rasterdaten: KOSTRA-DWD-2010R des Deutschen Wetterdienstes.

Kartendarstellung: © Bundesamt für Kartographie und Geodäsie (2022), Datenquellen: https://sgx.geodatenzentrum.de/web_public/gdz/datenquellen/Datenquellen_TopPlusOpen.html

Für die Richtigkeit und Aktualität der Angaben wird keine Gewähr übernommen. Erstellt 07/2022.